

ОПТИЧЕСКИЕ ПЕРЕХОДЫ В GaAs, ЛЕГИРОВАННОМ КИСЛОРОДОМ И ХРОМОМ

Ванем Р. А., Кикоин К. А., Мессерер М. А., Первова Л. Я.

Приводятся результаты измерения спектров оптически индуцированной модуляции поглощения (ОИМП) света кристаллами $n\text{-GaAs : Cr, O}$ в сравнении с аналогичными спектрами кристаллов $n\text{-GaAs : Cr}$. Анализ показал наличие в этих образцах комплексов $\text{Cr}_{\text{Ga}}-\text{O}_{\text{As}}$, электронные спектры которых сходны со спектрами исследованных ранее комплексов $\text{Cr}_{\text{Ga}}-\text{V}_{\text{As}}$.

1. Двойные дефекты в арсениде галлия, легированном хромом, в течение ряда лет привлекают внимание многих исследователей. Наиболее подробно изучены тригональные комплексы $\text{Cr}_{\text{Ga}}-\text{V}_{\text{As}}$, в которых наблюдаются оптические переходы с возбуждением d -оболочки атомов Cr [^{1, 2}] и переносом заряда от Cr к вакансии V [³⁻⁶]. Исследование оптических свойств GaAs : Cr методом оптически индуцированной модуляции поглощения (ОИМП) в кристаллах p - [^{3, 4}] и n -типа [⁵] позволило с уверенностью определить энергию переходов в комплексе, интерпретировать их как возбуждения с переносом заряда $[\text{Cr}-\text{V}^+]\rightarrow[\text{Cr}^0\text{V}^0]$ и изучить медленную релаксацию конечных состояний этих переходов, оказавшихся метастабильными, с временами жизни $\tau \sim 10^{-1}$ с. Теоретическая интерпретация спектров ОИМП несколько затрудняется из-за отсутствия каких-либо экспериментальных данных о положении глубоких уровней изолированных анионных вакансий. Поэтому для углубления понимания природы двойных дефектов в GaAs, легированном Cr, представляется полезным попытаться отыскать другие комплексы, содержащие Cr и имеющие ту же геометрию.

На возможность существования таких комплексов указывало наличие нескольких резонансных переходов с большими временами релаксации в спектрах возбуждения ОИМП в GaAs : Cr , которые не укладывались в схему уровней пары $\text{Cr}_{\text{Ga}}-\text{V}_{\text{As}}$ [⁶]. В настоящей статье сообщается о результатах исследования спектров ОИМП кристаллов $n\text{-GaAs}$, легированных хромом и кислородом. Полученные спектры интерпретируются в рамках теоретической модели двойных дефектов, содержащих примеси d -металлов, предложенной в [^{3, 4}].

2. Исследовались полуизолирующие образцы $n\text{-GaAs}$, выращенные методом Чохральского с добавлением в лигатуру GaAs окисла Cr_2O_3 . Полученные таким способом кристаллы обладали удельным сопротивлением $\rho \sim 10^8 \text{ Ом}\cdot\text{см}$ и подвижностью $\mu_n \geqslant 4 \cdot 10^3 \text{ см}^2/\text{В}\cdot\text{с}$ при $T=300 \text{ K}$. По данным химического анализа, концентрация примеси Cr в образцах не превышала 10^{16} см^{-3} .

В эксперименте снимались спектры поглощения и возбуждения ОИМП [⁵] при температуре 300 K. При измерении спектра поглощения кристалл возбуждается интенсивным прерывистым светом с энергией $h\nu_{\text{ex}}$ и частотой модуляции f_m , а модулированный спектр поглощения слабого зондирующего света с энергией $h\nu_p$, позволяет определить изменение коэффициента поглощения при перезарядке центров возбуждающим светом:

$$\Delta h_i(\hbar\nu_p) = \Delta n_i(\sigma_n - \sigma_p), \quad (1)$$

где Δn_i — изменение концентрации электронов на уровне i под действием возбуждающего света, σ_s и σ_p — сечения фотоионизации для электронов и дырок соответственно.

На рис. 1 представлен спектр поглощения ОИМП, снятый при $f_m=1.6$ Гц с энергией возбуждающего света $h\nu_{ex}=1.41$ эВ. По своей структуре этот спектр

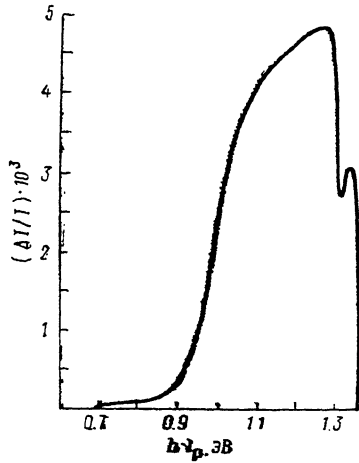


Рис. 1. Спектр ОИМП кристалла n -GaAs : Cr, O при $T=300$ К.

ΔI и I — интенсивности прошедшего через кристалл зондирующего света при действии и при отсутствии возбуждающего света соответственно.

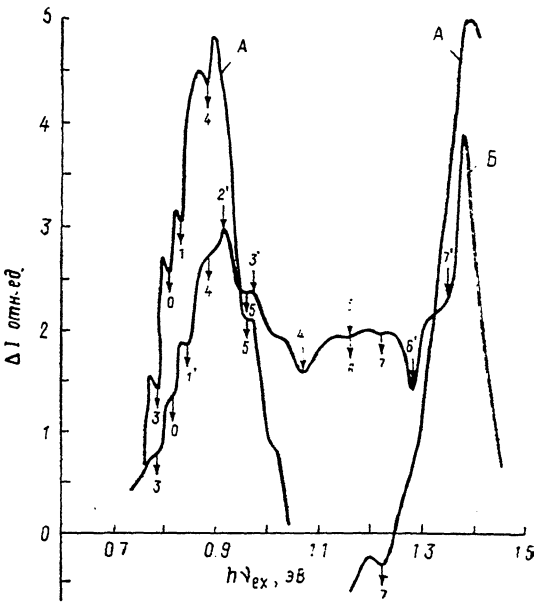


Рис. 2. Спектры возбуждения ОИМП кристаллов n -GaAs : Cr, O (A) и n -GaAs : Cr (B) при $T=300$ К.

Стрелками отмечены энергии внутрицентровых переходов. Нумерация стрелок соответствует нумерации переходов в табл. 1, цифры со штрихами отвечают переходам для дефекта $\text{Cr}-V_{\text{As}}$.

напоминает (по крайней мере до энергии $h\nu \sim 1.3$ эВ) обнаруженную ранее [3, 4] примесную полосу поглощения в образцах GaAs : Cr без дополнительного легирования кислородом. В обоих случаях спектры поглощения характеризуются долговременной релаксацией фотовозбуждения, но в GaAs : Cr, O время релаксации составляет $\tau \sim 3 \cdot 10^{-1}$ с при $E=300$ К, т. е. оказывается в 3 раза большие, чем в GaAs : Cr [3]. Такое поведение спектра поглощения ОИМП позволяет предположить наличие в кристалле сложного дефекта с участием примеси Cr, по своей структуре сходного с комплексом $\text{Cr}_{\text{Ga}}-V_{\text{As}}$ в кристаллах GaAs : Cr.

Таблица 1

Экспериментальные значения пики в оптических спектрах дефектов $[\text{Cr}-V]$ $[\text{Cr}-O]$ и их теоретическая интерпретация

	№ пика								
	0 *	1	2	3	4	5	6	7	X **
$\Delta h\nu_m [\text{Cr}-O]$		0.84	0.7?	0.78	0.88	0.96	1.14?	1.22	
$\Delta h\nu_m [\text{Cr}-V]$		0.85	0.90	0.98	1.06	1.14	1.27	~ 1.36	
Другие дефек-	0.82								1.02
ты									
Интерпретация	$T_2 \rightarrow E$	$E \rightarrow E^*$	$A_1 \rightarrow \alpha$	$E \rightarrow \alpha$	$A_1 \rightarrow \beta$	$E \rightarrow \beta$	$A_1 \rightarrow \gamma$	$E \rightarrow \gamma$	

Примечание. * Пики принадлежат изолированному Cr_{Ga} . ** Пики принадлежат неидентифицированному дефекту.

Это предположение подтверждается результатами измерения спектров возбуждения ОИМП на тех же кристаллах. Такие спектры получаются при фиксированной частоте ν_p и сканировании частоты возбуждающего света по всему спектральному интервалу. На рис. 2 представлен спектр возбуждения $n\text{-GaAs : Cr, O}$, снятый при $f_m = 30$ Гц и $\hbar\nu_p = 1.13$ эВ (кривая A), в сравнении с аналогичным спектром для полуизолирующего $n\text{-GaAs : Cr}$, снятым при $\hbar\nu = 1.10$ эВ, $f_m = 64$ Гц (кривая B). Сильный рассеянный свет не позволил получить качественного спектра в интервале энергий $1 < \hbar\nu_p < 1.15$ эВ, но сравнение кривых в исследованной области позволяет сделать определенные выводы: а) оги-

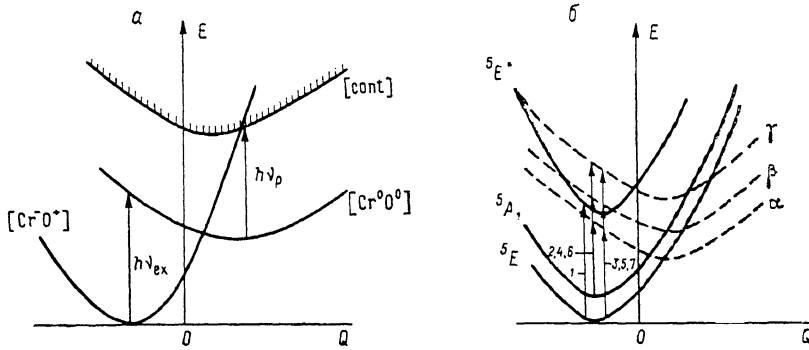


Рис. 3.

а — конфигурационные диаграммы для основного $[\text{Cr}^-\text{O}^+]$, метастабильного $[\text{Cr}^0\text{O}^0]$ и ионизованного $[\text{cont}]$ состояния двойного дефекта; стрелками указаны переходы, отвечающие реакциям (2) и (3); б — конфигурационные диаграммы для состояний $[\text{Cr}^-\text{O}^+]$ (сплошные линии) и $[\text{Cr}^0\text{O}^0]$ (штриховые) с учетом тригонального расщепления уровней; индексы у конфигурационных кривых соответствуют заполнению одноэлектронных d -состояний Cr и p -состояний кислорода в тригональном поле (табл. 2).

бающие спектров возбуждения с $\Delta k > 0$ в двух образцах практически одинаковы и отслеживают энергетическую зависимость сечения фотоионизации $\sigma_n(\hbar\nu)$ центров, содержащих Cr, в зону проводимости (ср. $[^5]$); б) резонансы в полосе $0.7 < \hbar\nu_{ex} < 1.0$ эВ с $\Delta k < 0$ в кристаллах GaAs : Cr , 0 по своей форме сходны с соответствующими резонансами в кристалле GaAs : Cr (кривая B). Положения резонансов в спектре возбуждения кристалла GaAs : Cr, O по сравнению с системой возбужденных состояний кристалла CaAs : Cr приведены в табл. 1.

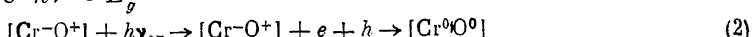
3. Основой для интерпретации спектров системы GaAs : Cr ^[3, 4] явился тот факт, что наблюдаемые энергетические переходы могут быть сгруппированы в пары с $\Delta h\nu = 0.08$ эВ. Эта разность отождествлялась с энергией расщепления уровня 5T_2 d -оболочки Cr в тригональном поле партнера (вакансии). Если принять, что Cr_{Ga} и O_{As} образуют пару, подобную паре $\text{Cr}_{\text{Ga}}-\text{V}_{\text{As}}$ с тригональной симметрией, то аналогичное расщепление должно существовать и в энергетическом спектре пары Cr—O. Тогда наблюдаемые переходы можно объяснить с помощью конфигурационной диаграммы (рис. 3), подобной диаграмме, предложенной ранее для комплекса Cr—V. (Для обозначения переходов на рисунке и в табл. 2 сохранена нумерация, принятая в работах $[^4, 5]$). При этом приходится предположить наличие у комплекса Cr—O уровней 2 и 6 с энергиями 0.7 и 0.14 эВ соответственно. Уровень 2 в нашем эксперименте не мог наблюдаваться, поскольку он находится за порогом чувствительности приемника, а уровень 6 попал в область интенсивного рассеяния света.

Таблица 2

Заполнение одноэлектронных уровней Cr и O в основном (5E) и возбужденных состояниях тригонального комплекса Cr—O

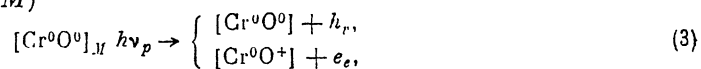
pa_1							↑
pe					↑	↑	
de	↑	↑↑	↑↑			↑	
da_1	↑			↑	↑		↑
de^*	↑↑	↑↑	↑	↑	↑↑	↑↑	↑↑
	5E	5A_1	$^5E^*$	α	β	γ	

В полуизолирующих кристаллах n -GaAs : Cr, O в отличие от GaAs : Cr n -типа, которые были дополнительно легированы мелкими донорами Sn [5], большая часть центров находится в нейтральном зарядовом состоянии $[Cr^-O^+]$, и полоса с пороговой энергией 0.9 эВ и долговременной релаксацией в спектре поглощения (рис. 1) обязана своим существованием реакции перезарядки возбуждающим светом с $h\nu \sim E_g$



с образованием метастабильного состояния (рис. 3). Эта реакция аналогична реакции перезарядки комплексов $Cr^- - V^+$ в полуизолирующих кристаллах p -GaAs : Cr [3]. Поглощение зондирующего света происходит с фотоионизацией незаряженных комплексов $[Cr^0O^0]$. Медленная релаксация метастабильных состояний $[Cr^0O^0]$ характеризуется временем $\tau \approx 3 \cdot 10^{-1}$ при комнатной температуре.

Сравнивая конфигурационные диаграммы, изображенные на рис. 3, a, b, с соответствующими диаграммами, предложенными для p -GaAs : Cr в работе [4], мы видим, что для интерпретации пиков и полос, наблюдающихся в спектрах ОИМП, следует принять, что метастабильный «кислородоподобный» уровень дефекта $Cr_{Ga} - O_{As}$, отвечающий конфигурации $[Cr^0O^0]$, отстоит от края континуума на 0.9 эВ, как и в случае комплекса $Cr_{Ga} - V_{As}$ [3, 4], поскольку край «медленной» полосы поглощения, отвечающей ионизации перезаряженного метастабильного состояния (M)



для обоих дефектов одинаков.

В то же время энергии переходов с переносом заряда, ответственных за пики 2–7 в спектрах возбуждения (рис. 2, табл. 1), в образцах с кислородом оказываются меньше, чем в кристаллах GaAs : Cr. Более «мягкий» спектр переходов с переносом заряда, как видно из конфигурационной диаграммы рис. 3, б, заставляет предположить, что связь $O_{As} - Cr_{Ga}$ вдоль направления <111> в двойном дефекте Cr—O несколько менее жесткая, чем между примесью хрома и вакансией As.

Тщательный анализ спектров возбуждения ОИМП образцов GaAs : Cr показывает, что «кислородные» резонансы присутствуют и в этих кристаллах (рис. 2, кривая B). При этом резонанс 6 с энергией 1.14 эВ практически совпадает с резонансом 5, принадлежащим дефекту Cr—V (табл. 1). Этот результат не должен вызывать удивления, поскольку в образцах, выращенных по методу Чохральского при герметизации образцов флюсом B_2O_3 , всегда присутствует примесь кислорода в концентрации $\sim 10^{16} \text{ см}^{-3}$.

Таким образом, изучение кристаллов GaAs : Cr показывает, что хром может образовывать тригональные комплексы как с собственными дефектами, так и с примесями в анионной подрешетке арсенида галлия. Метод ОИМП дает интегральные спектры, связанные с перезарядкой этих комплексов за счет внутренних переходов с переносом заряда, а совокупность данных по образцам p - и n -типа с различными положениями уровня Ферми позволяет выделить серию переходов, связанных с каждым из этих дефектов.

Авторы выражают признательность М. Г. Мильтидскому за поддержку и стимулирующие обсуждения и благодарят С. П. Гришину за предоставление образцов GaAs : Cr, O.

Список литературы

- [1] Skolnick M. C., Brosel M. R., Tuck B. // Sol. St. Commun. 1982. V. 43. N 5. P. 379–384.
- [2] Deveaud B., Lambert B., Picoli G., Martinez G. // J. Appl. Phys. 1984. V. 55. N 12. P. 4356–4360.
- [3] Ванем Р. А., Кикоин К. А., Лыук П. А., Первова Л. Я. // Письма ЖЭТФ. 1984. Т. 39. В. 9. С. 416–419.
- [4] Kikoin K., Lyuk P., Pervova L., Vanem R. // J. Phys. C. 1986. V. 19. N 23. P. 4561–4575.
- [5] Ванем Р. А., Кикоин К. А., Лыук П. А., Первова Л. Я. // ФТП. 1988. Т. 22. В. 2. С. 255–261.
- [6] Yamashita A., Osada Y. // Japan. J. Appl. Phys. 1986. V. 25. N 11. P. 1684–1690.